

PARIETAL KEMİK YERLEŞİMLİ EWİNG SARKOMU

Figen AKSOY (*), Hülya ÖZSAN (*), Sergülen DERVIŞOĞLU (*), Günay GİRİŞKEN (*)

ÖZET: Çocukluk çağında görülen primer kemik sarkomları çok seyrekdir. Ewing Sarkomu, osteosarkom en sık görülenler arasındadır. Vakamız 13 yaşında kız çocuğunda parietal kemik yerleşimli, klinik ve radyolojik bulguları ile uyumlu bir Ewing Sarkomudur. İlk biopside tümör, yuvarlak dar sitoplazmali, ince kromatinalı ve nukleollerli belirgin hücreler olmuş ve rozetvari yapılar oluşturuyordu. Ayrıca tümör hücreleri kuvvetli PAS ve vimentin pozitif boyanma özelliği gösteriyordu. Radioterapiyi takiben 3 ay sonra nuks ederek beyin ve durayı infiltr etmişti. Tümör yerleşim açısından ilginç olması ve aynı zamanda kemigin primer yuvarlak hücreli tümörleri arasında ayrıca tanı kriterlerinin gözden geçirilmesine olanak sağlama nedeniyle literatür bilgileri de gözden geçirilerek takdim edildi.

ANAHTAR KELİMELER: Ewing Sarkomu. (ES) - Kemigin küçük yuvarlak hücreli habis tüpleri.

SUMMARY: Primary bone sarcomas are rare in childhood. Ewing's sarcoma, osteosarcoma being the most frequent ones. A 13-years-old girl with an asymptomatic mass in the parietal bone, represents the clinical and radiological findings of Ewing's sarcoma. Histopathologic examination of the biopsy material reveals broad sheets of cells having small round cytoplasm, fine chromatin and conspicuous nucleolus. The cells are arranged in Homer-Wright rosettes. They show positive reaction with PAS and vimentin. In the third month, following radiotherapy local recurrence is observed. At that time tumor is found infiltrating the dura mater and the cortex of the brain. Unusual localization of the tumor with its morphologic pattern gives us a chance of reviewing other small round cell malignant tumors of bone and their differential diagnosis.

KEY WORDS: Intracranial Ewing's Sarcoma - Small round cell sarcoma of bone.

GİRİŞ

Çocukluk çağında görülen primer kemik tümörleri diğer çocukluk çağının tümörlerine göre çok seyrekdir. 15 yaşın altındaki çocukların rastlanan tümörlerin yaklaşık % 2'sini kemik tümörleri oluşturur. Bunlar içinde en sık görülen Ewing sarkomudur. Ayrıca intrakranial yerleşimli primer kemik tümörleri de bu çağlarda çok nadir olarak bildirilmiştir (5,6).

OLGU

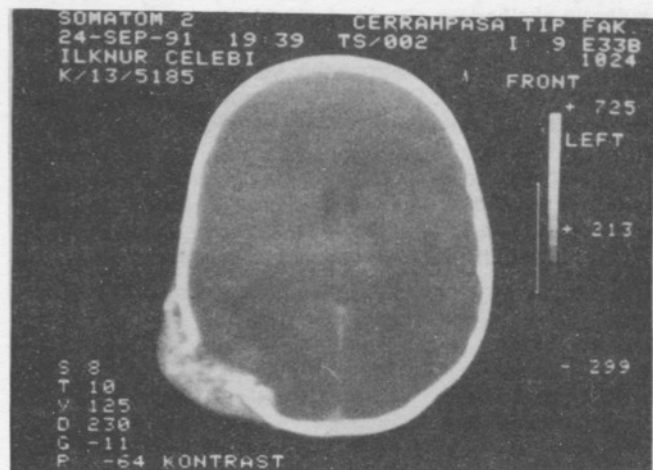
13 yaşındaki kız çocuğu, sağ parietal bölgede yumuşak doku kitlesinin hızla büyümesi nedeniyle Nisan 1991 tarihinde Cerrahpaşa Tıp Fakültesi Nöroşirürji Anabili Dalı'na başvurmuştur.

Yapılan fizik ve nörolojik muayenesinde özellik saptanmıştır. Ancak çekilen kraniografide sağ parietal kemikte 15x12 cm'lik bir litik lezyon ve beyin tomografisinde ise (Resim 1) sağ parietal kemik yerleşimli, komşu beyin korteksiye uzanım gösteren, aynı boyutlarda kitle saptanmıştır. Hastaya biopsi uygulanarak bölümümüzde değerlendirildirdi (7551/91).

Olgunun histopatolojik incelemesinde bağ dokusu ve kemik trabeküllerini infiltr ederek kitle oluşturan tümoral yapı gözlandı. Tümör hücreleri, dar sitoplazmali ve kromatin homogen dağılmış ince tanecikli yuvarlak, oval nukleusa sahipti.

Nukleol genellikle belirgin, arada mitoz göze çarpıyordu. Tümör hücreleri rozet yapıları da oluşturuyordu (Resim 2). Arada fibriller yapı gözlenmedi. Olgu yuvarlak hücreli bir habis tümör olabileceği ve nöroblastom metastazı olasılığı yönünden de incelenmesi gerektiği şeklinde rapor edildi.

Onkoloji kliniğinde hastaya uygulanan vücut sintigrafisi, toraks ve batın tomografisinde özellik saptanmadı. Kemik iliği aspirasyon bulguları normal sınırlar içinde bulundu. Klinik ve laboratuvar incelemeler sonucu parietal yerleşimli tümörün herhangi bir yerden metastaz olasılığından uzaklaşmış



Resim 1: Beyin tomografisinde sağ parietal kemik yerleşimli, komşu beyin korteksiye uzanım gösteren kitle.

larak olgu primer kemik tümörü olarak kabul edildi. Laboratuvarımızda preparatlara günlük boyalardan PAS ve retikulum boyası, immühistokimyasal olarak ise Vimentin, Desmin, Keratin, LCA, S-100, GFAP ve NSE boyası uygulandı. Sadece Vimentin ve PAS kuvvetli pozitiflik verdi (Resim 3). Bu bulgularla olgu parietal kemik yerleşimli Ewing sarkomu olarak değerlendirildi. Bu tanı ile hastaya radiotherapi uygulandı.

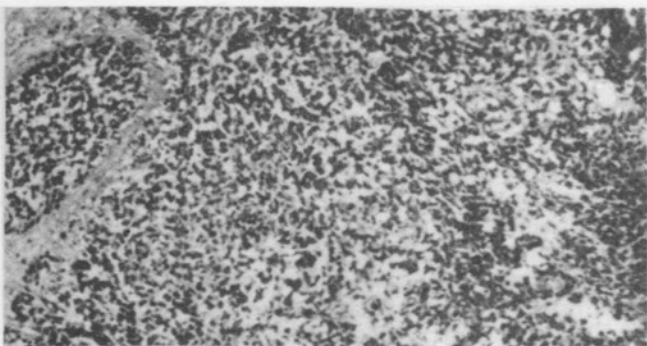
3 ay sonra parietal kitlenin tekrar büyümesi nedeniyle hasta Nöroşirürji kliniğine başvurusunda tekrarlanan tomografide ilki ile benzer özellikler görülverek sağ parietal kraniotomi + duroplasti ve parietal yerleşimli kitlenin total ekstirpasyonu uygulandı.

Yapılan histopatolojik incelemede (12458/91) tümör ilk biopsi ile benzer özellikler göstermeye (Resim 4) ve beyin dokusu ile durayı infiltr etmeye (Resim 5). İmühistokimyasal özelliklerde yine sadece vimentin ve PAS (+) boyanma saptandı.

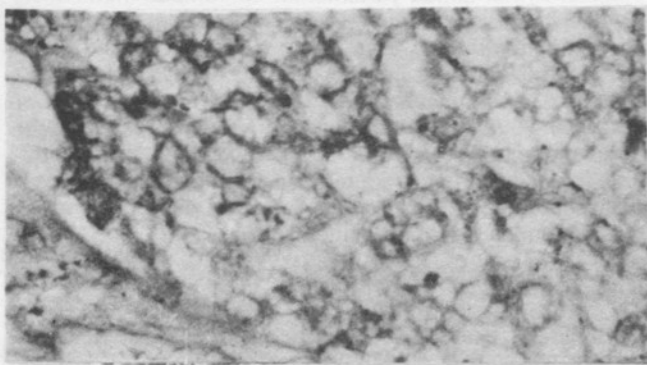
Ewing sarkomu tanısı olan olgumuzun intrakranial lokalizasyonu açısından özellik göstermesi ve kemigin küçük hücreli primer tümörlerinin tanı kriterlerinin incelenmesi yönünden ilginç olacağı düşüncesiyle literatür gözden geçirilerek olgumuzun özellikleri tartışıldı.

X. Ulusal Patoloji Kongresi'nde (3-7 Kasım 1992, Girne, Kıbrıs) poster olarak sunulmuştur.

* İstanbul Üniversitesi Cerrahpaşa Tıp Fakültesi Patoloji Anabilim Dalı.



Resim 2: Dar sitoplazmalı, yuvarlak ya da oval çekirdekli, ince taneçikli kromatin yapısı gösteren, bazillerinin nukleollerleri belirgin yer yer rozetvari yapılar oluşturan tümör hücreleri. Hematoxilen - Eozin x 80.



Resim 3: Tümör hücrelerinde PAS pozitifliği. PAS x 500.

TARTIŞMA

Çocukluk ve genç erişkin yaş grubunda sık görülen Ewing sarkomu hayatın ilk üç dekadını etkilemeye ve 5 yaşın altında nadir görülmektedir (3,11). En fazla yerleşim gösterdiği kemikler femur, tibia, humerus gibi uzun kemikler (% 47) daha az pelvis (% 29) ve kaburgalarıdır (% 12) (2,10). Olgumuzdaki parietal kemik yerlesimi Ewing sarkomu için beklenen bir bölge değildi.

Kafa kemiği tutulumu için oldukça nadir ve % 4'ün altında bir oran bildirilmektedir. Kafa ve çene kemikleri birlikte ele alındığında bu oran % 9'a ulaşmaktadır (5). Radyolojik olarak özellikle kafa kemiği yerleşimli Ewing sarkomu kemikte meydana getirdiği ekspansiyon nedeniyle monostatik fibröz displaziyi ya da meningiom "enplaque" da görülen kemik değişikliklerini taklit edebilir (5). Olgumuzda tümör kemikte sklerotik konturlu, periost reaksiyonu göstermeyen lityik bölge oluşturmuştur.

Fitzer ve arkadaşları sağ petroz kemik yerleşimli, Berdecia ve arkadaşları orbital tavan yerleşimli (3), Hustu ve arkadaşları frontoparietal yerleşimli Ewing sarkomu (3,5) olguları bildirmişlerdir. Ewing sarkomu seyri sırasında akciğer ve iskelet sistemi metastazına da sıkça rastlanılmaktadır. Akciğer metastazı % 59, iskelet sistemi metastazı % 34 oranındadır (3).

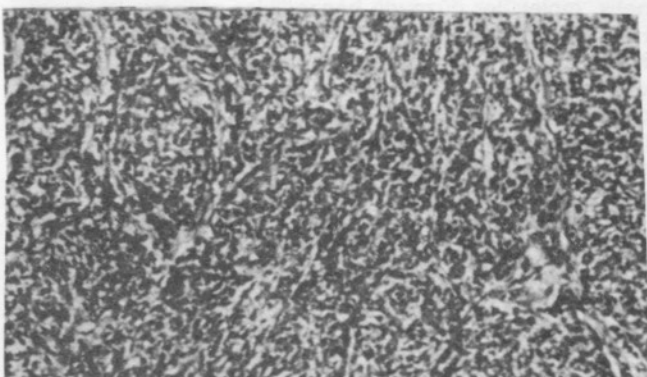
Santral sinir sistemi tutulumu ise nadir olarak bildirilmekte birlikte % 10-15, hatta % 33 gibi yüksek insidenslere ulaşmaktadır (3,6,9). Kafa kemiklerine yerleşim gösterenler ekstradural tümör basisi veya direkt invazyon yaparak nörolojik semptomların gelişmesine neden olabilirler. Olgumuzda da tümör parietal kemikten direkt invazyon ile dura

ve beyin parankimini infiltre etmiş ve ancak nörolojik semptomlar oluşturmamıştır.

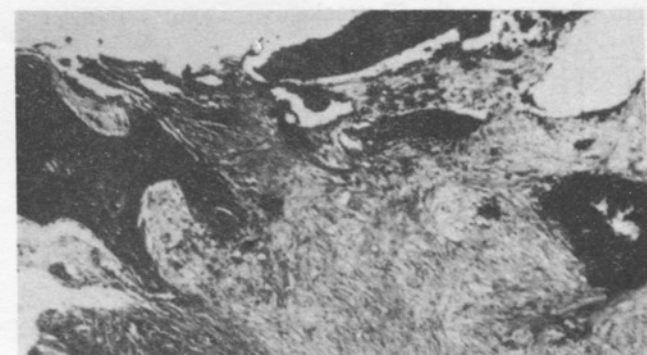
Mikroskopik olarak Ewing sarkomunun (ES) tanısı kemigin ve yumuşak dokunun diğer az diferansiyeye yuvarlak hücreli tümörlerine benzerliği nedeniyle güçlük yaratabilir. Genel anlamda Ewing sarkomu (ES) intersellüler stromadan faktır, yuvarlak hücre kümeleri şeklärindedir. Bu kümeler fibröz doku ile birbirinden ayırmaktadır.

Hücre çekirdeği lenfosit çekirdeğinin iki katı büyülüğünde, çekirdek sınırı belirgindir. Çekirdek kromatin yapısı dağınık ya da kümelenme göstermektedir, nükleol belirgin değildir. Hücre sitoplazması dar, sitoplazma sınırı genellikle belirgindir (1,4). Bazen hücreler kan damarları etrafında toplanarak tümøre peritelyomatöz görünüm kazandırmaktadır. Bazen hücreler rozetvari yapılar oluşturmakta, tümör nöroblastomayı hatırlatan görünümde olabilmektedir.

Granüler nekrotik kalıntı odakları etrafında kümelenen hücrelerin bu pseudorozet yapılarını meydana getirdiği düşünülmektedir (1). Ewing sarkomunu belirleyen önemli özelliklerden biri de PAS pozitif intrasitoplazmik glikojen granüllerinin varlığıdır (1,4,7). Ewing sarkomunda kan damarları çevresinde ve tümör lobülleri birbirinden ayıran fibröz septumlarda retikulin liflerine rastlamak mümkündür. Bu tipik görüntüsünün yanısıra histolojik görüntüye eklenen bazı değişik özellikler atipik Ewing sarkomu adı verilen farklı bir grubun oluşmasına neden olmuştur. Bu özellikler şunlardır: 1- Işık mikroskopu düzeyinde PAS pozitif granüllerin yokluğu. 2-Ekstrasellüler matriks artışı ile birlikte oluşan lobüler alveoler pattern. 3- Tümöral vasküler yapılar. 4- Mitozda artış (bir büyük büyütme sahasında 2'nin üzerinde mitoz). 5- Özellikle tümör kenarında fusiform karakterde hücrelerin varlığı (4,7).



Resim 4: İlk biopsi (yumuşak doku) ile benzer özellikleri tümör dokusu. Hematoxilen - Eozin x 80.



Resim 5: Kemikte görülen tümör dokusu. Hematoxilen - Eozin x 32.

Ewing sarkomunun moleküler düzeyde hücresel özellikleri ve doku karakteri tam olarak bilinmemektedir. Primitif bir tümör olarak kabul edilen Ewing sarkomunda hücrelerin büyük bir bölümünün vimentin pozitif boyanma göstermesi uzun yıllar primitif mezenkimal hücre kaynaklı olduğunu desteklemiştir (4,11). Elektron mikroskobi düzeyinde birbirleriyle yakın ilişkide bulunan priitif hücre karakterini yansıtan özellikler izlenmiş, gerçek bazal lamina saptanmamıştır. Ultrastrüktürel olarak da glikojen granülleri belirlenmiştir (11).

Son yıllarda ekstraskeletal ya da yumuşak dokunun Ewing sarkomu adını alan ve nöronal yönde diferansiasyonu ultrastrüktürel, immunhistokimyasal yöntemlerle gösterilen yeni bir grubun ortaya çıkması histogenez ve terminoloji konusunda kavram karmaşasına neden olmuştur. Ekstraskeletal Ewing sarkomu ya da Askin tümörü adı verlen bu grup daha çok torakopulmoner lokalizasyon göstermektedir (2,8).

Bu grupta nöral "marker"ların gösterilmesi periferik malign nöroektodermal tümör kavramının genişlemesine olanak vermiştir. Histolojik olarak lobuler yapı gösteren bu tümörlerde fokal Homer-Wright rozetlerinin varlığına rastlanmaktadır. Klinik ve radyolojik özellikleri Ewing sarkoma benzeyen bu grupta immunhistokimyasal olarak "nöron spesifik enolaz" gösterilmiştir.

Ultrastrüktürel olarak tümör rozetlerne, hücre sitoplazmasında mikrotubullere ve nörosekretuar granüllere rastlanmaktadır (8). Diğer nöral "marker"lardan olan S-100 proteini, glial fibriller asidik protein, nörofilament, chromogranin varlığı da gösterilmiştir (7,10).

Ewing sarkomunun "ekstraskeletal" formu ile malign periferik nöroektodermal tümörlerde de oldukça çarpıcı sitogenetik, moleküler düzeyde benzerlikler göze çarpmaktadır. Her üç grupta da (11;12) (9 24 ; 9 12) şeklinde kromozomal resiprokal translokasyon bulunmuştur (8,10). Ayrıca c-myc ve N-myc proto-onkogenlerinin ekspresyonu her üç grupta da gösterilmiştir. Benzer morfolojik, ultrastrüktürel, immunhistokimyasal, sitogenetik özellikler ve proto-onkogen ekspresyonu her 3 grupta da ortak kaynağı desteklemektedir (8,10).

Bu yeni gelişmeler yeni tartışmaları da beraberinde getirmektedir. Histogenez yönünden önemli ortak özellikleri olan bu tümörler aynı grup içinde mi değerlendirilmeli, yoksa ayırmalı mıdır? Yapılan çalışmalarla ortalama yaş ve cinsiyet yönünden büyük bir farklılık gözlenmemiştir. Ewing sarkomunda ortalama yaş 12.4, ekstraskeletal Ewing sarkomunda 10.3, PNET grubunda 13.7 yıl olarak bulunmuştur. Her 3 grupta da katekolamin sekresyonu izlenmemiştir (10). Ewing sarkomu daha çok alt ekstremite kemiklerine yerleşim göstermektedir. Ekstraskeletal Ewing sarkomu ve

PNET grubunda ise torakopulmoner bölgede sinirlere yakın bir yerleşim söz konusudur (2,8,11). Schmidt ve Herran bunların histogenetik olarak benzer grup oluşturduğu gerektiğini kabul etmeye ancak Ewing sarkomu ve PNET ayrımanın gerekliliğini belirtmektedir, iki grubun прогнозunun farklı olduğunu vurgulamaktadır (10). Nöral "marker'lardan en az ikisinin gösterilmesinin ve Homer-Wright rozetlerinin varlığının malign PNET tanısı için gerekliliğine inanan araştırmacılar MPNET için sağ kalımı % 37.5, Ewing sarkomu için % 54.4 olarak bildirmiştir (10).

Öte yandan Ewing sarkomunun kemiğin ve yumuşak dokunun diğer yuvarlak hücreli tümörlerinden ayırcı tanısı güçlükler yaratabilir. Şüphesiz klinik, radyolojik bulgular tanıda yardımcıdır. Ancak bazen ultrastrüktürel ve immunhistokimyasal çalışmalar gerekmektedir (7,8). Küçük hücreli osteosarkomda radyolojik ve sarkomatöz görüntü ile birlikte primitif osteoid matriks varlığı ile karakterize morfolojik bulgular ayırcı tanıda yardımcıdır. Lenfomoda immunhistokimyasal yöntemlerle gösterilen LCA pozitifliği önemli tanısal kriterlerdir (4,7,8).

Olgumuzda daha çok tipik Ewing sarkomu morfolojik özellikleri yanında vimentin ve PAS (+) boyanma bizi kemiğin diğer yuvarlak hücreli tümörlerinden uzaklaştırmıştır. Uygulanan nöral markerlarının negatifliği olgumuzda bu yönde bir diferansiasyon olmadığını düşündürmektedir. Ancak ultrastrüktürel inceleme yapılmadığından hücrenin histogenezini yönünden fikir yürütülememiştir.

KAYNAKLAR

- Angervall U, Enzinger FM: Extraskeletal neoplasm resembling Ewing's sarcoma. *Cancer* 36: 240-251, 1975.
- Bator SM, Baver TW, Marks KE, Norris DG: Periosteal Ewing's sarcoma. *Cancer* 58: 1781-1784, 1986.
- Bardeca AA, Schut U, Bruce DA: Localized primary intracranial Ewing's sarcoma of the orbital roof. *J Neurosurg* 50: 811-813, 1979.
- Dervişoğlu S, Girişken G: Kemiğin primer küçük hücreli tümörlerinde ayırcı tanı. *Türk Patoloji Dergisi* 8-1: 9-12, 1992.
- Fitzter PM, Steffey WR: Brain and bone scans in primary Ewing's sarcoma of the petrous bone. *J Neurosurg* 44: 608-612, 1976.
- Fernandez CH, Lindberg RD, Sutow WW, Samuels MU: Localized Ewing's sarcome-treatment and results. *Cancer* 34: 143-148, 1974.
- Hartman KR, Triche TJ, Miser JS: Prognostic value of histopathology in Ewing's sarcoma. *Cancer* 67: 163-171, 1991.
- Jaffe R, Santamaria M, Yunis EJ, Tannery NH, Agostini RM, Medina J, Goodman M: The neuroectodermal tumor of bone. *Am. J. Surg Pathol* 8: 885-898, 1984.
- Mehta Y, Hendrickson FR: CNS involvement in Ewing's sarcoma. *Cancer* 53: 859-862, 1974.
- Schmidt D, Herrmann C, Jürgens H, Harms D: Malign peripheral neuroectodermal tumor and its necessary distinction from Ewing's sarcoma. *Cancer* 68: 2251-2259, 1991.
- Steiner GC: Primitif neuroectodermal tuor versus Ewing's sarcoma. Immunohistochemical and electron microscopic observations. *Curr Top. Pathol* 80: 1-29, 1989.